

## Raport stiintific sintetic

privind implementarea proiectului in perioada ianuarie 2013–decembrie 2013

Aceasta etapa a avut ca scop studiul fotofizic si fotochimic al compusilor de interes in cadrul proiectului constand in fotosensibilizatori (de tip ftalocianinic, coloranti)-molecula de legatura (olefine sintetizate in laborator) si medicamente (au fost selectate fenotiazinele -molecule utilizate in terapia fotodinamica antibacteriana).

Au fost obtinute urmatoarele rezultate:

\*Au fost realizate masuratori ale fotostabilitatii unor fenotiazine functie de parametrii de iradiere prin spectroscopie de absorbtie (Dinache, Rom. Rep. Phys. 2013).

\*Au fost realizate masuratori ale timpilor de viata ale starilor de triplet prin fotoliza flash si masurarea hidrofilicitatii prin tensiune superficiala pentru compusi de interes de tip ftalocianinic in amestec de solventi, studiu care se concretizeaza intr-un manuscript aflat in curs de submitie la Journal of Molecular Structure. Un studiu privind fotofizica unor ftalocianine a fost publicat in Rom. Rep. in Phys. (Staicu, 2013).

\*S-a realizat studiul fotofizic si fotochimic al fenotiazinei CPZ, s-a masurat randamentul quantic de generare a oxigenului singlet si a ratei de interactie a CPZ cu oxigenul singlet si deasemenea a unor compusi de tip olefinic in conexiune cu molecule de fotosensibilizator cresyl violet. Produsi obtinuti au fost analizati prin spectroscopie de IR (studiu trimis la Journal of Biomedical Optics – aflat sub revizie).

Rezultatele acestor studii sunt sintetizate in continuare.

Structura compusilor de tip olefine- colorant studiati sunt ilustrati in Fig. 1. L1 si L4 sunt 2 olefine (sintetizate de colaboratori de la Universitatea de Besancon) care sunt analizate functie de cresyl violet L3. De asemenea a fost studiat si compusul complex L2 care a constat in molecule de fotosensibilizator L3 legata cu olefina L1.

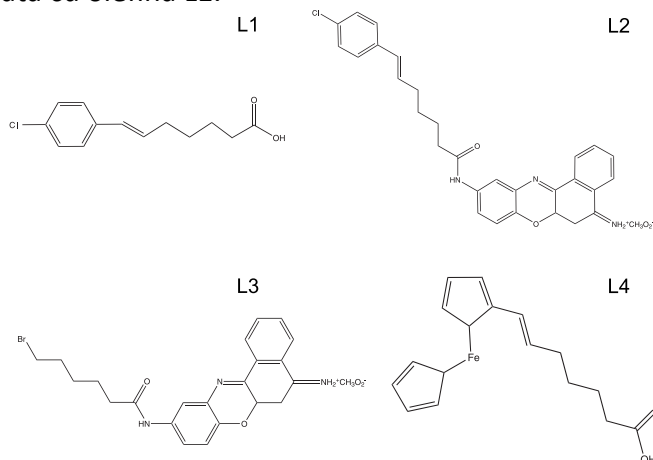


Fig. 1 Structuri chimice L1, L2, L3 si L4.

Interacția dintre compusi si oxigenul singlet generat de fotosensibilizator a fost investigata prin masurarea fosforescente oxigenului singlet in timp real. Constanta de rata a interacției dintre L1 si L4 cu oxigenul singlet a fost, de asemenea, masurata. Timpul de viață al oxigenului singlet, generat prin excitarea moleculelor de L3 utilizând radiația laser, a fost determinat pentru compusi L1, L4 (concentrații 2 mM- 25 mM) in amestec cu L3 având o concentrație de 25 μM. Solutiile au fost preparate in DCM. Rata de stingere a oxigenului a fost de  $2.9 \times 10^4 \text{ M}^{-1}\text{s}^{-1}$  pentru L1 si de  $2.4 \times 10^5 \text{ M}^{-1}\text{s}^{-1}$  pentru L4. In Fig.2 este reprezentata grafic relatia Stern-Volmer pentru compusul

L4. Se poate observa ca se produce o rata de stingere a oxigenului singlet cu un ordin de marime mai mare, daca in structura olefinei sunt prezente cele doua inele ciclopentadienice legate prin Fe comparativ cu cazul in care acestea sunt substituite de clorbenzen.

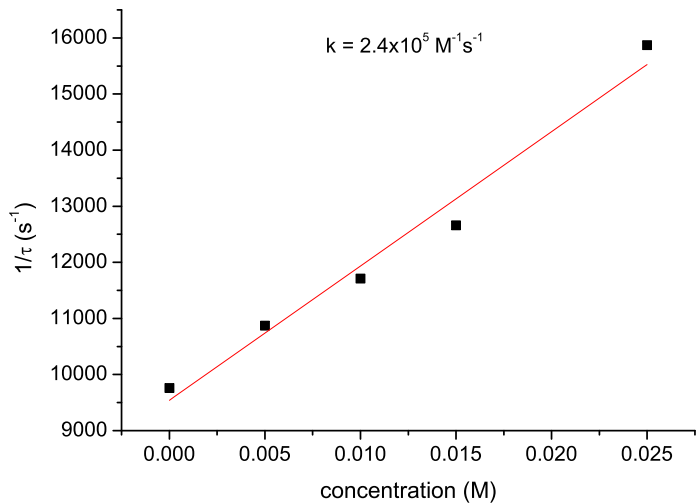


Figura 2 Stern-Volmer plot pentru compusul L4.

Compusul L2, obtinut din L1 si L3, a fost de asemenea studiat. Variația timpului de viață al oxigenului singlet pentru L2 a fost comparat cu cel pentru L3. Dependența în timp a intensității fosforescente oxigenului singlet pentru L2 și L3 la o concentrație de 25 μM este prezentată în Figura 3. Aproximativ aceleași valori ale intensității semnalelor, poate fi o indicație ca stingeră oxigenului singlet nu este de tip static în cazul compusului L2. Scaderea concentrației acestui compus determină o creștere a timpului de viață al oxigenului singlet, ceea ce indică o stingeră dinamică având o rata de  $1 \times 10^7 \text{ M}^{-1}\text{s}^{-1}$ .

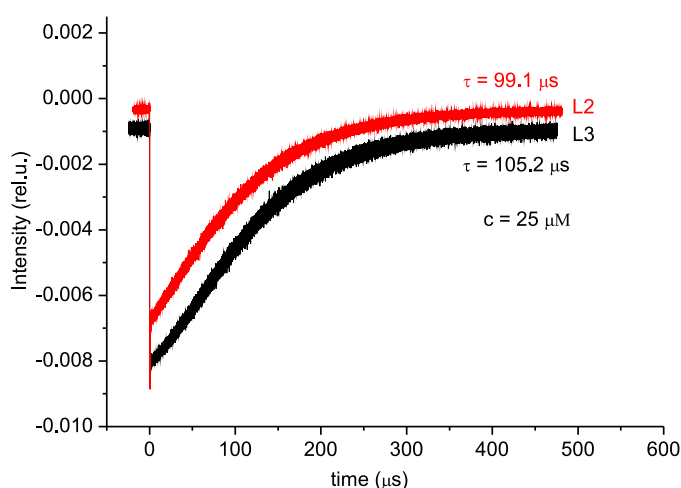


Figura 3 Fosorescenta oxigenului singlet ca functie de timp pentru L2 si L3 avand concentratii de 25μM.

Cantitatea de un mL de soluție de L3 și L1/L4 a fost iradiată timp de o ora utilizând radiatia din domeniul spectral vizibil emisă de o lampa cu Xe având puterea de 145 mW. Producții obținute în urma iradierei au fost investigați prin spectroscopie FTIR. Pentru amestecul L1 și L3 nu s-au observat modificări în spectrul soluției iradiate comparativ cu cel al soluției neiradiate. Pentru amestecul ce conține 0.5 mL de L3 și 0.5 mL de L4 iradiat timp de o ora se pot observa modificări în spectrul IR fata de cel neiradiat (Figura 4).

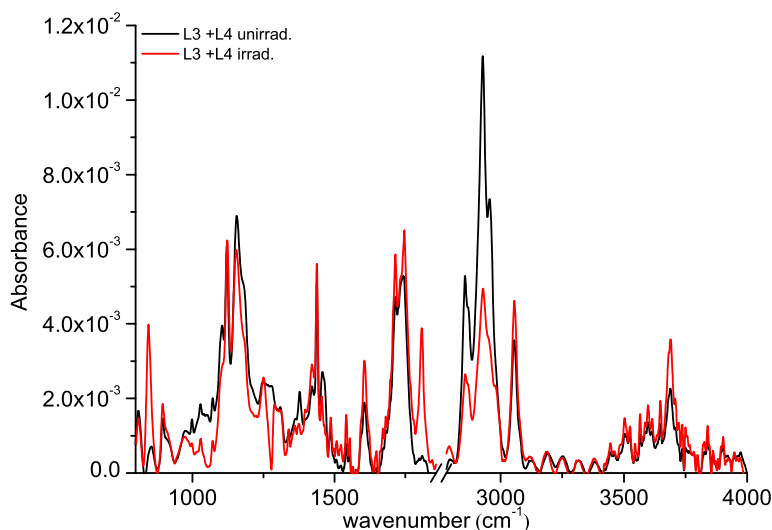


Figura 4. Spectrul FTIR pentru amestecul L3 si L4 neiradiat si iradiat

Noul maxim de la  $1808\text{ cm}^{-1}$  din spectrul IR al soluției iradiate poate fi atribuit vibrației de întindere a legăturii C=O de lângă inelul ciclopentadienic. Acest lucru poate fi o indicație a formării legături de carbonil prin reacția de cicloaditie (2+2) datorita ruperii legăturii de C=C din cadrul structurii olefinei. Pe de alta parte, aparitia unei noi benzi la  $845\text{ cm}^{-1}$  poate fi atribuita formării peroxidului ca rezultat al unei reacții de tip ene. Între cele două reacții menționate anterior are loc un proces competitiv. O alta indicație a producării reacției ene este scaderea intensității celor două benzi de la  $2856\text{ cm}^{-1}$  și  $2928\text{ cm}^{-1}$  (responsabile pentru vibrațiile de întindere simetrice și asimetrice ale legăturii C-H și CH<sub>2</sub>) cu 50% respectiv 55% (scaderea în intensitate a vibratiei specifice legăturii CH<sub>2</sub> se datorează înlocuirii legăturii C-C cu cea de C=C din cadrul reacției ene).

Rata de stingere a oxigenului singlet a fost determinată pentru trei substanțe ce aparțin clasei olefinelor. Prezența în structura olefinelor a două inele ciclopentadienice legate prin atomul de Fe oferă o rata de stingere a oxigenului singlet cu un ordin de marime mai mare decât în cazul în care aceasta este substituția cu un clorbenzen. Acestea susțin faptul că L4 poate fi utilizat ca linker în cazul livrării medicamentelor prin interacția cu oxigenul singlet.

#### *Studiul fotofizic și fotochimic al fenotiazinei clorpromazina*

Spectrul UV-Vis al CPZ este caracterizat de două benzi de absorbție cu maxime la 254 nm și 307 nm. Ca rezultat al interacției compusului cu radiatia laser UV (266 nm) se poate observa că după 30 de minute de iradiere, banda de la 307 nm dispare, fiind acompaniata de apariția altor două maxime la 503 nm și 540 nm (Figura 5).

Spectrul de fluorescență induză laser (LIF) al soluției apoase de CPZ având o concentrație de 2 mg/mL prezintă un maxim la 500 nm. Intensitatea fluorescentei crește cu timpul de iradiere până la 5 minute, apoi începe să descrească. (Figura 6).

Analiza pH-ului pentru solutiile de CPZ arată o descreștere a acestuia de la 5.75 la 2.23 de-a lungul iradiierii. Acest comportament poate fi justificat prin formarea cationului de hidroniu datorita ruperii atomului de clor din structura aromatică a CPZ

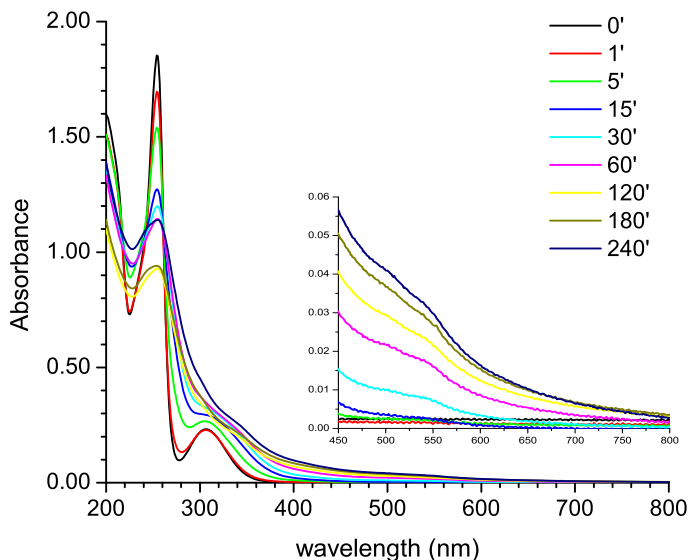


Figura 5 Spectrul de absorbție al unei soluții apoase de CPZ având o concentrație de 0.2 mg/mL intre 200-800 nm pentru timpi de iradiere intre 0 - 240 minute.

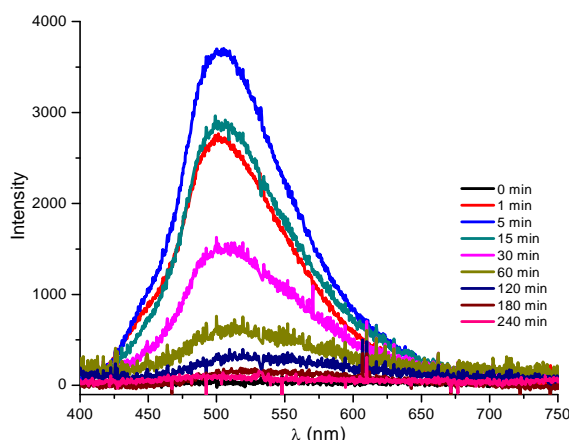


Figura 6 Spectrul LIF al soluției de CPZ (2 mg/mL) pentru timpi de iradiere intre 0-240 min.

Atât soluția de CPZ neiradiata cat și cea iradiată au fost analizate, de asemenea, prin spectroscopie FTIR, benzile de vibrație specifice diferitelor legături din structura CPZ fiind identificate. Spectrul pentru CPZ neiradiat a fost comparat cu cel pentru CPZ iradiată 240 de minute, iar diferențele au fost evidențiate (Figura 7). Formarea de noi compuși este dovedită prin apariția unor noi benzi în spectrul FTIR. Într-un studiu anterior (Pascu et. al., PLoS One 2013) au fost identificați 5 fotoproducti în soluția iradiată de CPZ folosind tehnici ca HPLC MS/MS și HPLC-DAD: Clorpromazina sulfoxid (CPZ-SO), Promazina (Pz), Hidroxipromazina (Pz-OH), Hidroxipromazina sulfoxid (Pz-OH-SO) și Promazina sulfoxid (Pz-SO).

Benzile IR caracteristice acestor compuși au putut fi identificate și în cazul soluției apoase de CPZ, având o concentrație de 2 mg/mL și iradiate timp de 240 minute, prin spectroscopie FTIR. Maximul de la  $1265\text{ cm}^{-1}$  este atribuit vibrației de întindere a legăturii C-O a grupării fenol, indicând formarea Pz-OH și/sau Pz-OH-SO. Maximul de la  $1085\text{ cm}^{-1}$  se datorează vibrației de întindere a legăturii S-O datorată sulfoxidului, dovedind formarea de Pz-SO și/sau Pz-OH-SO. Nu în ultimul rand, maximul de la  $804\text{ cm}^{-1}$ , atribuit legăturii C-Cl, dispare din spectrul probei iradiate arătând formarea Pz. Deplasarea de  $6\text{ cm}^{-1}$  către numere de undă mai mari observată pentru toate benzile se datorează disparității totale a CPZ și indică formare de noi produsi ce prezinta vibratii caracteristice diferite.

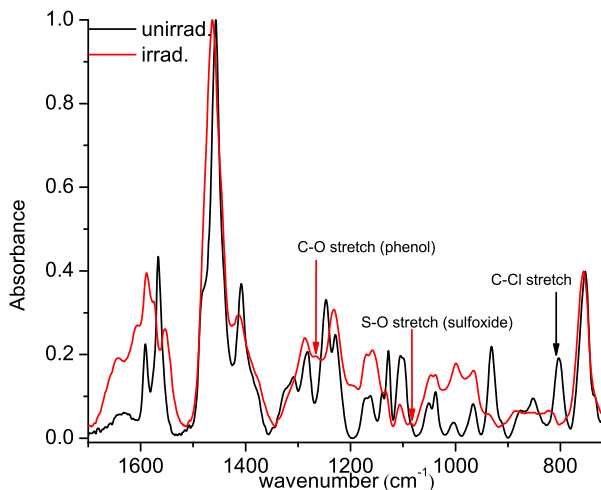


Figura 7 Spectrul FTIR pentru solutia neirradiata/irradiata deCPZ (concentratie de 2 mg/mL)

Datorita faptului ca rezultatele obtinute in urma analizelor FTIR si HPLC-MS/MS au indicat prezenta unor reacții fotoinduse prin oxidare, s-a verificat daca CPZ genereaza oxigen singlet prin fotosensibilizare. Probele au fost preparate in  $D_2O$ , deoarece acest solvent prezinta un timp de viata mai lung al oxigenului singlet comparativ cu cel al apei (30  $\mu s$  fata de 3-4  $\mu s$ ). Randamentul generarii oxigenului singlet a CPZ a fost determinat utilizand ca referinta o soluție de ZnPc dizolvat in DMSO (randament cuantic pentru oxigenul singlet fotogenerat 0.67). Semnalele de fosforescenta rezolvata in timp a oxigenului singlet generat au fost înregistrate in aceleasi conditii pentru CPZ si standard, iar randamentul CPZ a fost calculat in concordanța cu urmatoarea formula:

$$\Phi = \Phi_{ref} \frac{I}{I_{ref}} \frac{A_{ref}}{A} \frac{n^2}{n_{ref}^2} \frac{\tau}{\tau_{ref}}$$

unde,  $\Phi$  este randamentul generarii oxigenului singlet,  $I$ - intensitatea fosforescente oxigenului singlet,  $A$ - absorbția soluției la 355 nm și  $\tau$ - timpul de viață al oxigenului singlet, in timp ce indicele  $ref$  corespunde valorilor probei considerata referinta (ZnPc dizolvat in DMSO). Intensitatea fosforescente este obtinuta prin extrapolarea la  $t=0$  a curbei mono-exponentiale de fitare a kineticii fosforescente.

Valoarea astfel determinata randamentului generarii de oxigen singlet pentru CPZ in  $D_2O$  este de 3.3%. Pentru a estima interacția oxigenul singlet cu CPZ, a fost masurata kinetica de stingere a oxigenului singlet pentru diferite concentratii de CPZ ( $5.75 \times 10^{-5}$  M –  $5.6 \times 10^{-4}$  M). Din dreapta Stern-Volmer obtinuta (Figura 8) s-a determinat constanta de rata a stingerii dinamice a oxigenului singlet in cazul CPZ ca fiind de  $1.53 \times 10^8$  M $^{-1}$ s $^{-1}$ .

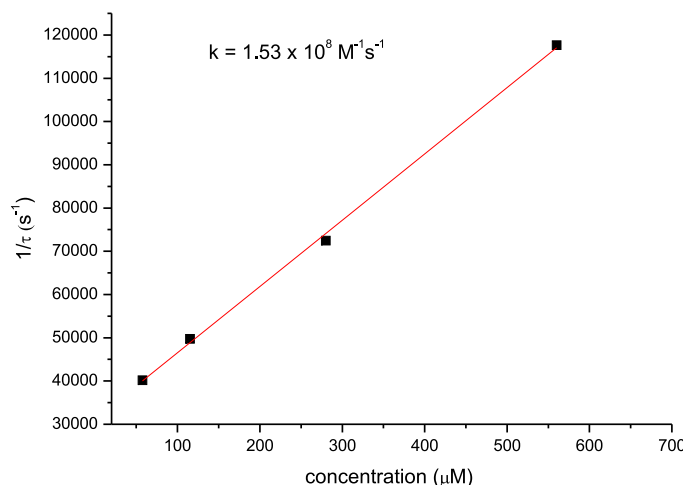


Figura 8 Dreapta Stern-Volmer pentru interactia oxigenului singlet cu CPZ.

Comportamentul fotochimic al CPZ a fost descris in literatura; iradierea cu UVA (320-400 nm) produce formarea radicalilor liberi in soluția de CPZ, in timp ce iradierea cu UVC (<270 nm) produce fotoionizarea. Dupa formarea radicalilor liberi, oxigenul singlet sensibilizat de catre starea excitata de triplet a CPZ poate duce la formarea derivațiilor sulfoxid.

Rezultatele noastre sugereaza un punct critic al iradierii, acesta fiind la 120 de minute. Maximul de la 254 nm prezent in spectrul UV-Vis prezinta o descreștere liniara in timpul celor 120 minute de iradiere, apoi începe sa creasca in intensitate pana la sfârșitul celor 240 de minute. Valorile pH-ului scad de la 5.72 la 2.23 in cele 120 de minute, apoi acesta stabilizandu-se. Spectrul fluorescentei induse laser prezinta o scadere a intensitatii pana in momentul in care are loc stingerea acesteia dupa 120 de minute. Toate aceste rezultate sugereaza transformarea completa a CPZ in fotoprodus in timpul celor 120 minute de iradiere.

Este cunoscut faputul ca o parte dintre fotoprodusii de reacție apar ca rezultat al fotolizei prin declorinare reductiva. Moleculele de Pz si Pz-OH sunt posibili produși de reacție care apar datorita proceselor de declorinare reductiva si hidroxilare.

Interactia dintre CPZ si oxigenul singlet generat de el insusi urmeaza urmatoarea cale de reactie, oxidarea avand loc la atomul de sulf:

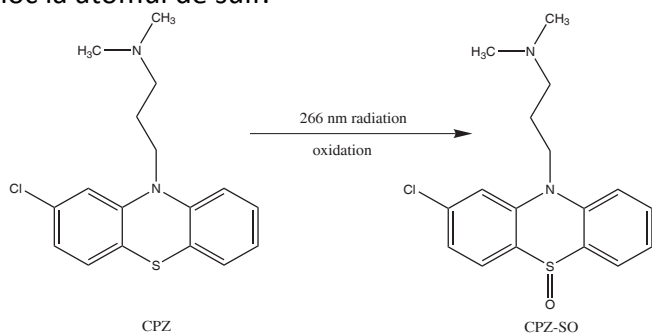


Figura 9 Formarea CPZ-SO prin oxidarea CPZ.

CPZ-SO produs de catre foto-oxidarea CPZ in apa datorita interactiei cu radiația UV a laserului este un proces similar cu cel obtinut prin conversie metabolica a CPZ ca urmarea a administrarii împotriva bolilor psihotice.

Astfel, implicarea oxigenului singlet in reacții fotochimice induse prin expunerea la radiație laser a CPZ a fost analizata. Randamentul oxigenului singlet al CPZ a fost determinat ca fiind 3.3%. In concordanta cu acest lucru, au fost sugerate posibilele cai fotochimice de reacție a CPZ. Fotoprodusii au fost analizati prin spectroscopie FTIR iar modificarile obtinute la nivelul benzilor IR confirmă formarea produșilor obținuți in urma interactiei cu radiația laser, identificati anterior prin HPLC-MS/MIS si HPLC-DAD (Pascu et al., PlosOne, 2013).